

ساخت نانو حامل دندریمری پلی آمیدوآمین-پلی اتیلن گلیکول هدف گیرنده TAG72 برای انتقال ژن t-Bid به سلول‌های توموری کولورکتال

فاطمه صفریان^۱، فاطمه رهبری‌زاده^{۲*}، سعید امانپور^۳، زهرا شریف‌زاده^۴

- ۱- دانشجوی کارشناسی ارشد، گروه بیوتکنولوژی پزشکی، دانشکده علوم پزشکی، دانشگاه تربیت مدرس، تهران، ایران
- ۲- استادیار، گروه بیوتکنولوژی پزشکی، دانشکده علوم پزشکی، دانشگاه تربیت مدرس، تهران، ایران
- ۳- استادیار، مرکز تحقیقات سرطان (انستیتو کانسر)، دانشگاه علوم پزشکی تهران، تهران، ایران
- ۴- دانشجوی دکتری تخصصی، بانک سلوی ایران، انستیتو پاستور ایران، تهران، ایران

دریافت مقاله: ۸۹/۱۲/۲۵
پذیرش مقاله: ۹۰/۰۴/۰۵

چکیده

هدف: هدف از این تحقیق ساخت و بررسی اثر نانو حامل‌های پلی آمیدوآمین-پلی اتیلن گلیکول هدفمند شده با نانوبادی علیه TAG72 برای انتقال سازه کد کننده ژن t-Bid به سلول‌های آدنوکارسینومای کولون انسانی است.

مواد و روش‌ها: ساپ کلونینگ ژن نانوبادی در ناقل بیانی pSJ برای تولید انبوه پروتئین نانوبادی انجام و سپس SDS-PAGE و وسترن بلاستیک تأیید شد. افزودن پلی اتیلن گلیکول به نانوذرات پلی آمیدوآمین با نسبت مولی ۱ به ۲ (پلی آمیدوآمین به پلی اتیلن گلیکول) و هدفمندسازی با نانوبادی علیه TAG72 با نسبت مولی ۱ به ۱ انجام شد. بار سطحی و اندازه نانوذرات به ترتیب با دستگاه زتا سایزر مالورن و نانوسایت بررسی و کارایی حامل ژنی ساخته شده در انتقال ژن کشته به t-Bid به سلول‌های آدنوکارسینومای کولون در محیط آزمایشگاه با آزمون‌های Real Time PCR و تعیین میزان مرج و میر سلوی بررسی شد.

نتایج: نتایج بررسی با نانوسایت و زتا سایزر مالورن، به ترتیب ساخت نانوذرات هدفمند با اندازه 162 ± 92 نانومتر و پتانسیل سطحی $+4/57$ را نشان می‌دهد. آزمون تأخیر حرکت در ژل، کارایی حامل ساخته شده را برای دربرگیری و فشرده‌سازی سازه ژنی تأیید می‌کند. نتایج Real Time PCR افزایش بیان ژن هدف در سلول‌های توموری را تأیید می‌کند.

نتیجه‌گیری: نتایج این مطالعه کارایی دندریمرهای پلی آمیدوآمین در انتقال ژن و نیز تأثیر مثبت افزودن پلی اتیلن گلیکول و اتصال نانوبادی علیه TAG72 به این نانو حامل ژنی (برای هدفمندسازی انتقال ژن به سلول) را تأیید می‌کند.

کلیدواژگان: نانو حامل پلی آمیدوآمین-پلی اتیلن گلیکول، نانوبادی علیه TAG72، ژن درمانی هدفمند، آدنوکارسینومای کولون انسانی

۱ - مقدمه

تومورهای کولون و رکتوم یکی از شایع‌ترین بدخیمی‌ها هستند. ماهیت مهاجم، رشد بدون کنترل و مکانیسم‌های پیچیده

*نشانی مکاتبه: تهران، دانشگاه تربیت مدرس، دانشکده علوم پزشکی، گروه بیوتکنولوژی پزشکی، کد پستی: ۱۴۱۱۷۱۳۱۱۶
Email: Rahbarif@modares.ac.ir

به محل تومور منتقل کند. بنابراین ظرفیت هدف‌گیری دقیق و اختصاصی تومور یک ویژگی بسیار مهم برای راهکارهای درمانی سرطان خواهد بود [۹]. فولیک اسید [۱۰]، پیتیدهایی مانند آرژنین-گلیسین-آسپارتیک اسید (RGD) و آسپارتین-گلیسین-آسپارتیک اسید (NGD) [۱۱]، قطعات آنتی‌بادی‌ها [۱۲] و آنتی‌بادی‌ها [۱۳] تاکنون برای هدفمند کردن انتقال ژن به تومور بسیار مطالعه شده‌اند. اولین بار کاربرد نانوبادی شتری علیه نشانگرهای توموری توسط گروه بیوتکنولوژی پزشکی دانشگاه تربیت مدرس [۱۴] مطرح و بررسی شد. در این مطالعه نیز از نانوبادی شتری علیه آنتی ژن توموری TAG72 (Tumor-associated Glycoprotein 72) که گلیکوپروتئینی از خانواده بزرگ موسین‌های است و در سطح بسیاری از تومورها از جمله کارسینومای کولون افزایش بیان نشان می‌دهد [۱۵] برای هدفمندسازی انتقال ژن درمانی با نانوحامل استفاده شده است.

هدف این تحقیق ساخت و بررسی نانوذرات PAMAM پوشیده شده با پلی‌اتیلن گلیکول و هدفمند شده با نانوبادی t-Bid TAG72 برای انتقال سازه درمانی کد کننده ژن t-Bid (HRE/ERE-pMUC1-t-Bid) به رده‌های سلولی تومورهای کولون در محیط آزمایشگاه (In vitro) و بررسی میزان مرگ و میر سلولی ناشی از بیان ژن هدف است.

۲- مواد و روش‌ها

۱-۲- مواد

در این تحقیق از DNA پلیمراز Taq DNA لیگاز T4 و آنزیم‌های هضم کننده محدودالاثر EcoRI، BamHI، BbsI، NucleoTrap[®]، (Fermentas)، کیت‌های تخلیص از ژل (NucleoSpin[®] Plasmid) و تخلیص پروتئین (Protino[®] Ni-IDA Packed Columns) His-Tag دارای شرکت MACHEREY-NAGEL (MN)، کیت تخلیص Cinnagen (RNX-Plus) RNA شرکت HT29 و LS174T (هر دو آدنوکارسینومای کولون انسان هستند)، NIH3T3 (رده فیربلاست موشی)، دندریمر پلی

دخیل در رشد و تکثیر تومورهای کولون سبب شده است که درمان‌های اولیه (مانند جراحی، شیمی‌درمانی و رادیودرمانی) ناکارآمد باشند. این در حالی است که ژن درمانی به عنوان راهکاری انقلابی امیدهای تازه‌ای را به همراه داشته است [۱]. موفقیت ژن درمانی تا حدود زیادی به ساخت حاملین ژنی کارآمد و ایمن وابستگی نشان داده است. تاکنون نیز گروه‌های تحقیقاتی زیادی حاملین ژنی متعددی که به‌طور کلی در دو دسته حاملین ژنی ویروسی و غیرویروسی قرار می‌گیرند را ساخته و بررسی کرده‌اند. اگرچه حاملین ژنی ویروسی هم در انتقال و هم تضمین بیان ژن انتقالی بسیار کارآمد است ولی مشکلات مربوط به ایمنی زیستی و هزینه‌های بالای تولید آنها محققان را برآن داشته که به سیستم‌های غیرویروسی توجه بیشتری کنند [۲، ۳]. در میان پلیمرهای کاتیونی به عنوان حاملین ژنی غیرویروسی، دندریمرهای پلی‌آمیدوامین (Poly Amido Amine (PAMAM) Dendrimers) جدیدی از نانopolیمرها با ساختار سه بعدی پرانشعاب و بسیار یکنواختی است که قابلیت زیادی در بسته‌بندی مولکول‌های دیگر در فضای درونی خود را دارند. با داشتن گروه‌های آمین باردار مثبت در سطح می‌توانند با مولکول‌های اسیدنوكلئیک (DNA) واکنش داده و آنها را در درون خود فشرده ساخته و ساختارهایی به نام پلی‌پلکس (Polyplex) را ایجاد کند که در انتقال ژن بسیار کارآمد ارزیابی شده است [۴، ۵].

مشکل اصلی پلی‌پلکس‌های DNA-PAMAM، بار مثبت سطح آن‌هاست که سبب واکنش‌های نامطلوب بین آنها و سلول‌های غیرهدف و اجزای خون، کاهش نیمه عمر خونی کمپلکس و سمیت سلولی در موجود زنده (In vivo) می‌شود. در راستای کاهش بارهای مثبت سطحی، پوشاندن بارهای سطح پلی‌پلکس‌ها با پلیمرهای محلول در آب پلی‌اتیلن گلیکول (Polyethylene Glycol: PEG) (که به آن پگیله کردن می‌گویند) نتایج امیدوارکننده‌ای را نشان داده است [۶-۸]. از سوی دیگر زمانی یک سیستم انتقال دارو/ ژن به عنوان یک سیستم مؤثر و کارآمد در درمان سرطان در نظر گرفته می‌شود که بتواند محموله خود را بدون هیچ آسیبی به بافت‌های سالم

۲-۲-۲- کشت انبوه و تولید و جداسازی نانوبادی علیه TAG72

تک کلون تأیید شده در مرحله قبل، در ۵۰ میلی لیتر محیط 2XYT حاوی آنتی بیوتیک آمپی سیلین (به میزان ۱۷۰ میکروگرم در هر میلی لیتر) برای ۲۴ ساعت در انکوباتور با حرکت چرخشی و در دمای ۳۷ درجه سانتی گراد کشت داده شد (کشت اوایله). کشت اوایله به یک لیتر محیط 2XYT حاوی آنتی بیوتیک آمپی سیلین (به میزان ۱۷۰ میکروگرم در هر میلی لیتر) (Optical Density: OD₆₀₀=0/9)، در انکوباتور با حرکت چرخشی و در دمای ۳۷ درجه سانتی گراد قرار داده شد. سپس ایزوپروپیل تیوگالاکتوزید (Isopropyl thiogalactoside: IPTG) تا رسیدن به غلظت نهایی ۱ میلی مولار به آن اضافه شد تا پرومودور القا شود. پس از افزودن IPTG، انکوباسیون به مدت ۲۰ ساعت در دمای ۳۷ درجه سانتی گراد با حرکت چرخشی انجام شد. پس از اتمام ۲۰ ساعت از القای باکتری ها، آنها با دور ۴۰۰۰ دور در دقیقه در ۴ درجه به مدت ۲۰ دقیقه سانتریفیوژ شدند. عصاره سیتوزولی حاوی نانوبادی مورد نظر با سونیکاپیون (Sonication) جدا و پس از افزودن سدیم آزاد (Sodium Azide) (۰/۰۱ میلی گرم در هر لیتر) در یخچال نگهداری شد.

۳-۲-۲- جداسازی و تعیین ویژگی های نانوبادی

با توجه به این که ساب کلونینگ در این ناقل بیانی منجر به افزوده شدن توالی His-tag در انتهای کربوکسیل نانوبادی در هنگام ترجمه می شود، می توان برای جداسازی پروتئین هدف از محلول رویی به دست آمده از کروماتوگرافی تمایلی ستون های نیکل استفاده کرد. در اینجا با استفاده از ستون های Protino® Ni-IDA Packed MN و طبق دستورالعمل شرکت Fermentas E. coli TG1. شد. کلون های تشکیل شده روی پلیت حاوی آنتی بیوتیک آمپی سیلین، توسط کلونی PCR (با کاربرد آغازگرهای فوق) بررسی و کلون های حاوی ژن نانوبادی شناسایی شد. پس از آن یکی از کلون های مرحله قبل برای ادامه کارها انتخاب شد. پلاسمید کلون منتخب تخلیص و با هضم تأییدی (با دو آنزیم EcoRI و BamHI) و توالی خوانی تأیید شد. این پلاسمید تأیید شده به نام pSJ-TAG10 نامگذاری شد.

آمیدوامین نسل ۵ (با وزن مولکولی ۲۸۸۲۶) (شرکت Sigma)، ان هیدورکسی سوکسینامید-پلی اتیلن گلیکول-مالئimid (N-hydroxysuccinimide- Polyethylen Glycol- Maleimide: NHS-PEG-MAL) (با وزن مولکولی ۳۴۰۰) (شرکت Jenkem) استفاده شد.

۲-۲- روش ها

۱-۲-۲- ساب کلونینگ ژن نانوبادی علیه TAG72

ابتدا توالی نانوبادی علیه TAG72 (در روی ناقل pCOMb3X)، جدا شده از کتابخانه ژنی شتری، با استفاده از دو جفت آغازگر (Primer) مذکور در پایین که دارای جایگاه بشش توسط آنزیم های محدود ساز BbsI (در آغازگر رفت) و BamHI (در آغازگر برگشت) است به روش PCR تکثیر شد. (آغازگر رفت Nano-BbsI: Forward)

5'-TATGAAGACACCAGGAGGTGCAGCTGGAGCAGTC-3'
(Reverse: Nano-BamHI-Cys:

5'-TATGGATCCGCATGAGGAGACGGTGACCTG-3'
ژن نانوبادی تکثیر شده و پلاسمید بیانی pSJ تحت اثر آنزیم های محدود دالثر BbsI و BamHI هضم و سپس از ژل Nucleo Trap-MN کیت تخلیص از ژل دستورالعمل شرکت Fermentas انجام و محصول نوترکیب به روش القای الکتریکی وارد باکتری E. coli TG1 شد. کلون های تشکیل شده روی پلیت حاوی آنتی بیوتیک آمپی سیلین، توسط کلونی PCR (با کاربرد آغازگرهای فوق) بررسی و کلون های حاوی ژن نانوبادی شناسایی شد. پس از آن یکی از کلون های مرحله قبل برای ادامه کارها انتخاب شد. پلاسمید کلون منتخب تخلیص و با هضم تأییدی (با دو آنزیم EcoRI و BamHI) و توالی خوانی تأیید شد. این پلاسمید تأیید شده به نام pSJ-TAG10 نامگذاری شد.

۶-۲-۲- ترکیب سازه ژنی با نانوذرات هدفمند شده

ابتدا یک میلی گرم PAMAM یا -PEG-PAMAM نانوبادی در یک میلی لیتر باfer PBS تهیه و از آن رققی به صورت ۱۰۰ میکرو گرم PAMAM در هر میلی لیتر باfer PBS (pH=۷/۴) یا محیط کشت سلولی فاقد سرم (در اینجا محیط DMEM خام استفاده شد) تهیه شد. محلول ذخیره Stock (HRE/ERE-pMUC1-tBid) پلاسمید (Solution) با غلظت ۱۰۰ میکرو گرم DNA در هر میلی لیتر آب چهار بار تقطیر تهیه شد. سپس محلول استونک DNA به آرامی به رقت دندربیری تهیه شده تا رسیدن به نسبت وزنی ۱۰ به ۱ (این نسبت وزنی تأمین کننده نسبت نیتروژن نانوذره به فسفات DNA (همان نسبت N به P) برابر با ۱۵ خواهد شد) اضافه شد. سپس بلافاصله ورتکس (Vortex) سریع به مدت ۳۰ ثانیه در دمای اتاق انجام شد.

۷-۲-۲- تعیین خصوصیات نانوذرات هدفمند شده و حاوی سازه ژنی

برای اطمینان از مجتماع شدن پلاسمید در نانوذرات، از هر یک از کمپلکس های pDNA/PAMAM یا PAMAM پگیله شده pDNA و PAMAM پگیله شده هدفمند شده با نانوبادی pDNA به میزان ۱۰ میکرولیتر در ژل آگارز ۱ درصد برده و به مدت ۴۵ دقیقه الکتروفورز انجام شد. باندهای DNA با نور ماورای بنفش (UV) مشاهده شد. اندازه و پتانسیل زتای (Zeta Potential) نانو کمپلکس ها به ترتیب با کمک دستگاه Nanosight (Nanosight) و دستگاه زتا سایزر (Zeta Sizer) ساخت شرکت Malvern بررسی شد.

۸-۲-۲- ترانسفکشن سلول های یوکاریوتی

سلول های رده LS174T (رده سلولی آدنو کارسینومای کولون انسان دارای بیان بالای آنتی ژن TAG72) به عنوان سلول هدف، رده HT29 و رده NIH3T3 به عنوان شاهد، در محیط

یک روز در بافر فسفات سالین (Phosphate Buffered Saline) pH=۷/۲ در ۴ درجه سانتی گراد دیالیز (Dialyze) شد. فرآیند SDS-PAGE با ستون نیکل با کاربرد روش (Sodium dodecyl Sulfate Polyacrylamide Gel Electrophoresis) بررسی شد. با کاربرد آنتی بادی علیه توالی C-myc در وسترن بلاتینگ (Western Blotting) حضور نانوبادی در نمونه تأیید شد. غلاظت نانوبادی به روش براوفورد (Bradford) و اختصاصیت واکنش پذیری نانوبادی با آنتی ژن TAG72 در مقایسه با ۸ پروتئین دیگر به روش الیزا (Enzyme-Linked Immunosorbent Assay: ELISA) تعیین و بررسی شد.

۶-۲-۴- آماده سازی نانوذرات

PAMAM-PEG
مقدار ۱ میلی گرم (۰/۰۳۴۶ میکرومول) از PAMAM و ۰/۲۴ میلی گرم (۰/۰۶۹۳ میکرومول) از NHS-PEG-MAL در نیم میلی لیتر PBS (pH=۸) ترکیب و ۲ ساعت در دمای اتاق با هم زدن مخلوط شد. گروه های آمین انتهایی نانوذره به طور اختصاصی با گروه های PEG در NHS واکنش می دهد. کونژوگه های حاصل از فیلتر های اولتراسانتریفیوژی آمیکون (میلی پور) با محدوده وزنی ۱۰ کیلو دالتون عبور داده شد تا هم کونژوگه ها از پلی اتیلن گلیکول متصل نشده جداسازی شود و هم باfer با ۵۰۰ میکرولیتر PBS (pH=۷) تعویض شود.

۶-۲-۵- اتصال نانوبادی علیه TAG72 به نانوذرات

PAMAM/PEG

کونژوگه های تازه تهیه شده با ۰/۰۳۴۶ میکرومول از نانوبادی در یک میلی لیتر از باfer PBS (pH=۷) ترکیب و ۲۴ ساعت در دمای اتاق با هم زدن مخلوط شد. در این واکنش گروه های مالئید آزاد انتهایی پلی اتیلن گلیکول به گروه های سیستینی که به واسطه آغازگر برگشت به انتهای نانوبادی اضافه شده بود متصل شد. کمپلکس های حاصل با استفاده از فیلتر های اولتراسانتریفیوژی آمیکون با محدوده وزنی ۳۰ کیلو دالتون جداسازی و باfer نیز با PBS (pH=۷/۴) تعویض شد.

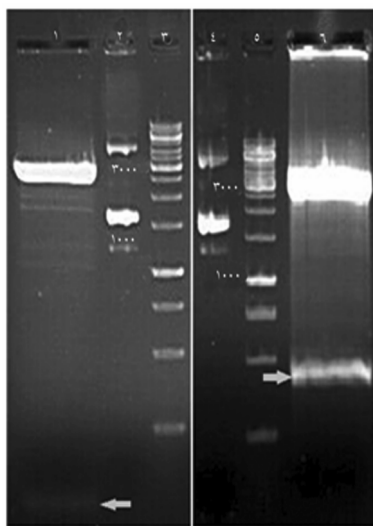
۱۰-۲-۲- بررسی میزان مرگ و میر سلول‌ها

پس از تریپسینه کردن سلول‌ها و جداسازی آن‌ها از کف حجم ۱۰ میکرولیتر از سلول‌ها با حجم برابر از رنگ حیاتی تریپان بلو (Trypan Blue) ترکیب و زیر میکروسکوپ تعداد سلول‌های زنده شمارش شدند.

۳- نتایج

۱-۳- ساپ کلونینگ ژن نانوبادی علیه TAG72

توالی ژنی نانوبادی علیه آنتی ژن توموری TAG72 در ناقل بیانی pSJ ساپ کلون شد. محصول نوترکیب به درون باکتری‌های *E. coli* TG1 القا شده و کلون‌های تشکیل شده روی پلیت حاوی آنتی‌بیوتیک آمپیسیلین به روش کلونی-PCR بررسی شدند. پلاسمید ساپ کلون شده pSJ-TAG-10 تخلیص شده و با دو آنزیم *EcoRI* و *BamHI* هضم تأییدی انجام شد (شکل ۱).



شکل ۱ به ترتیب از چپ به راست: ستون ۱) پلاسمید pSJ هضم شده (برش با *EcoRI* و *BamHI* منجر به خروج قطعه‌ای نزدیک به ۹۰ جفت‌باز از ناقل می‌شود)، ستون ۲ و ۴) پلاسمید pSJ هضم نشده بعنوان کنترل، ستون ۳ و ۵) ستون ۶) کیلوبازی، ستون ۷) پلاسمید pSJ-TG-10 هضم شده (برش با *EcoRI* و *BamHI* منجر به خروج قطعه‌ای نزدیک به ۴۵۰ جفت‌باز از ناقل ساپ کلون شده می‌شود). قطعات خروجی در محل پیکان نشان داده شده است. (اعداد مشخص شده در شکل با واحد جفت‌باز هستند).

(Fetal Calf Serum) FCS با DMEM به پلیت ۲۴ خانه متقل شدند تا به تراکم محیطی (Confluence) درصد (۴۸ تا ۷۲ ساعت) برسند. در این مدت آن‌ها در محیط DMEM با مقادیر کاهشی FCS انکوبه شدند تا این‌که ۱۴ ساعت قبل ترانسفکشن به آن‌ها محیط DMEM با FCS ۱ درصد و بدون آنتی‌بیوتیک اضافه شدند. برای ترانسفکشن ابتدا محیط سطح سلول‌ها را تخلیه و سپس به هر چاهک از پلیت ۲۴ خانه، ۵۰ میکرولیتر محیط DMEM فاقد سرم و آنتی‌بیوتیک به همراه مخلوط‌های ترانسفکشن تازه تهیه شده (تا رسیدن به غلاظت نهایی PAMAM به صورت ۱۵ میکروگرم در چاهک) اضافه شد. پلیت ۲ ساعت در دمای ۳۷ درجه سانتی‌گراد و با دی‌اکسید کربن ۵ درصد انکوبه شده و سپس مخلوط‌ها از روی سلول‌ها برداشته و سلول‌ها یکبار با محیط کشت خام شسته شدند. سپس به هر چاهک محیط کشت DMEM کامل و حاوی ۱۰ FCS ۱ درصد اضافه و پلیت به مدت ۴۸ ساعت انکوبه شد. پس از اتمام این مدت سلول‌ها بررسی شدند.

۹-۲-۲- انجام Real Time PCR برای بررسی

کمی بیان ژن t-Bid در سلول‌ها

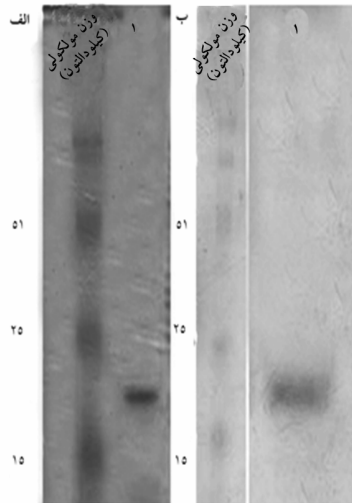
RNA سلول‌های منجمد شده (در مرحله قبل) با استفاده از برنامه کیت RNX-Plus شرکت CinnaGen تخلیص و سپس غلاظت RNA ها با استفاده از دستگاه بیوفتوسومتر (Biophotometer) با طول موج ۲۶۰ نانومتر اندازه‌گیری شد. سپس با استفاده از آنزیم ترانس‌کریپتاز معکوس M-MuLV شرکت cDNA Fermentas تمام آن‌ها ساخته شد. به منظور بررسی کمی بیان ژن و با استفاده از دستگاه Applied Biosystem StepOne Real Time PCR شرکت Real Time PCR روی تمام cDNA های سنتز شده انجام شد. نسبت بیان ژن هدف (ژن t-Bid) در مقایسه با ژن کنترل بتا-اکتین با کاربرد فرمول Pfaffle برای تمام تیمارها محاسبه شد.

$$\frac{\text{هدف - کنترل } \Delta\Delta C_t}{\text{هدف - کنترل } \Delta C_{\text{مرجع}}} = \text{نسبت بیان ژن}$$

۲-۳- تولید، جداسازی و تعیین ویژگی‌های نانو بادی علیه TAG72

با توجه به این‌که ساپ‌کلوزینیگ در ناقل pSJ منجر به افزوده شدن توالی His-tag و C-myc در انتهای کربوکسیل نانو بادی می‌شود، کروماتوگرافی تمایلی با کاربرد ستون نیکل انجام و اتصالات اسید‌آمینه‌های هیستیدین انتهای نانو بادی به نیکل‌های این ستون با کاربرد شبیه غلظتی ۲۵۰ میلی‌مولار ایمیدازول شکسته شد و نانو بادی جداسازی شد. نتایج SDS-PAGE (شکل ۲) این فرآیند جداسازی را تأیید می‌کند.

در وسترن بلاستینگ با کاربرد آنتی‌بادی موشی علیه C-myc حضور تک باند نانو بادی در ناحیه حدود ۲۰ کیلو‌دانتون تأیید شد (شکل ۲).



شکل ۲ (الف) SDS-PAGE، (ب) وسترن بلاستینگ، ۱) تک باند نانو بادی علیه TAG72 که با غلظت ۲۵۰ میلی‌مولار ایمیدازول از ستون نیکل جداسازی شده است، در محدوده ۲۰ کیلو‌دانتون مشاهده می‌شود و MW: نشانگر وزن مولکولی است.

جدول ۱ نتایج الیزا در OD ۴۵۰ نانومتر؛ نتایج به صورت میانگین ± انحراف معیار نشان داده شده است.

PSM	BSM	BSA	TAG72	آنتی زن	آنتی ۴۵۰ نانومتر
۵/۰±۰/۳۰	۵/۰±۰/۲۰	۵/۰±۰/۲۰	۶/۰±۰/۲۳	۶/۱±۰/۲۳	۶/۱±۰/۲۳
اندوگلین ^۷	Muc1 ^۸	کازئین ^۹	SK-Milk ^{۱۰}	فاکتور رشد اپیدرمی-۲ ^{۱۱}	
۵/۰±۰/۱۹	۷/۰±۰/۳	۵/۰±۰/۲۷	۵/۰±۰/۰		۶/۰±۰/۱۹

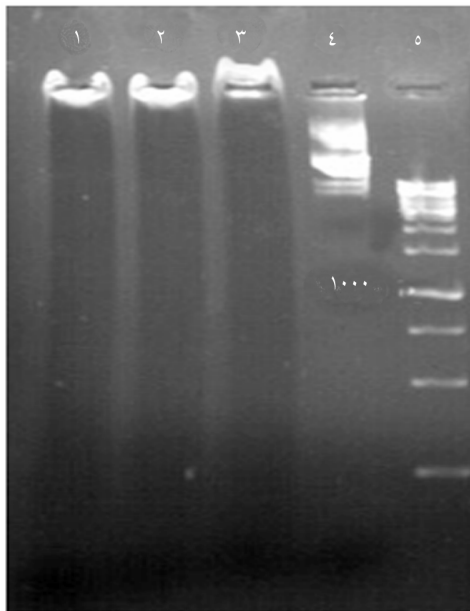
Porcine Submaxillary Mucin :۳
Endoglin :۷ Casein :۶ Bovine Submaxillary Mucin :۲
Bovine Serum Albumin :۱
Shirazskبدون چربی (Skim- Milk) :۵ Epidermal Growth Factor-2/Her-2 :۴

حرکت آن را به صورت معکوس یعنی از مثبت به منفی تغییر می‌دهد) در شکل ۳ نشان داده شده است. سازه ژنی به تنها یک (به عنوان کنترل) که به راحتی در ژل حرکت می‌کند، در این آزمون آورده شده است.

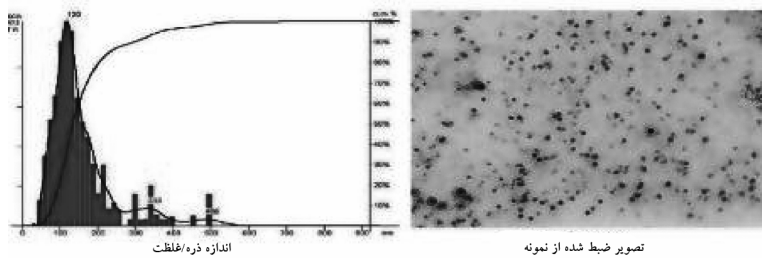
نتایج بررسی نانوکمپلکس‌های پلی آمیدو‌آمین پگیله شده هدفمند شده با نانو بادی/pDNA با دستگاه نانوسایت نشان دهنده تشکیل کمپلکس‌هایی با شکل‌های کروی و با میانگین اندازه ۱۶۲ ± ۹۲ نانومتر (شکل ۴) است. همچنین بررسی نانوذرات وجود متوسط پتانسیل زتابی $+۴/۵۷$ را تأیید کرد (جدول ۲).

۳-۳- تعیین خصوصیات نانوذرات

کمپلکس‌های PAMAM pDNA/PAMAM پگیله شده pDNA و PAMAM پگیله شده هدفمند شده با نانو بادی pDNA طبق روش اشاره شده بالا (همگی با نسبت وزنی PAMAM به DNA ۱۰ به ۱) سنتز شده و ۱۰ میکرو لیتر از نمونه‌های تازه تهیه شده در ژل آگارز ۱ درصد برای ۴۵ دقیقه الکتروفورز شد. توانایی نانوذرات برای دربرگیری و بسته‌بندی سازه ژنی و در نتیجه ممانعت از حرکت الکتروفورزی آن در جهت قطب مثبت (بار مثبت غالب در نانوذره



شکل ۳ نتیجه تأخیر حرکت در ژل: در ستون ۱) PAMAM پگیله شده هدفمند شده با نانویادی/سازه ژنی، ستون ۲) PAMAM پگیله شده/سازه ژنی، ستون ۳) کمپلکس‌های PAMAM سازه ژنی، نسبت وزنی نانوذره به DNA در سازه ژنی یک به ده و نسبت نیتروزن نانوذره به فسفات DNA برابر ۱۵ در نظر گرفته شده است (بار مثبت غالب در نانو ذره حرکت آن را به صورت معکوس یعنی از مثبت به منفی تغییر می‌دهد)، ستون ۴) پلاسمید حاوی ژن کدکننده t-Bid، ستون ۵) DNA (اعداد در شکل با واحد جفت باز هستند). Ladder تصویر ضبط شده از نمونه



شکل ۴ نتیجه بررسی اندازه نانوکمپلکس‌های PAMAM پگیله شده هدفمند شده با نانویادی/pDNA به صورت میانگین انحراف معیار در نمودار نشان داده شده است. میانگین اندازه نانوکمپلکس‌ها ۱۶۲ نانومتر با انحراف معیار ۹۲ نانومتر گزارش شده است. تصویر سمت راست تشکیل نانوکمپلکس‌هایی با اشکال یکنواخت و عدم تشکیل تجمعات بین ذره‌ای را در نمونه مورد بررسی نمایش می‌دهد.

جدول ۲ نتیجه بررسی پتانسیل زتا نانوکمپلکس‌های PAMAM پگیله شده هدفمند شده با نانویادی/pDNA در سه نوبت نشان داده شده است. میانگین پتانسیل زتا ذرات به صورت ۴/۵۷ +۴ است.

شماره نمونه	نوع بررسی	دما (سانتی گراد)	پتانسیل زتا (میلی ولت)	تحرک الکتروفورزی (میکرومتر × سانتی متر / ولت × ثانیه)	هدایت کنندگی (میلی سیمن/سانتی متر)
۱	اندازه‌گیری پتانسیل زتا	۲۵	۴/۵۴	۰/۳۵۵۵	۲۴
۲	اندازه‌گیری پتانسیل زتا	۲۵	۵/۱۲	۰/۴۰۱۳	۲۶/۸
۳	اندازه‌گیری پتانسیل زتا	۲۵	۴/۰۷	۰/۳۱۸۵	۲۷/۲

معیار نشان می‌دهد. در مورد سمیت سلولی حاصل از خود نانوذرات، با توجه به اثر نانوذرات بر سلول‌های NIH3T3 که به عنوان سلول عادی و غیر بیان کننده آنتیژن در نظر گرفته شده و از طرفی از تیمار سلول‌ها به پلی‌پلکس بدون سازه، مشاهده می‌شود که اثر نانوذره و پلی‌پلکس بدون سازه بر این سلول‌ها خیلی نزدیک به کنترل منفی و نیز خیلی نزدیک به مرگ و میر این سلول بدون تیمار است که بر اثر سمی پایین نانوذره بر سلول‌های عادی دلالت دارد.

۴- بحث

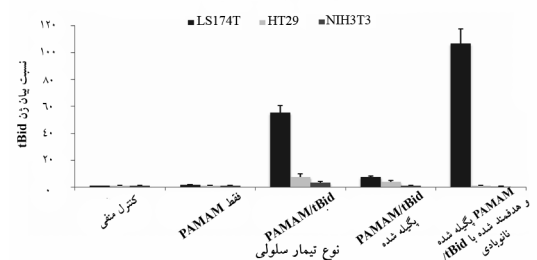
تحقیقات متعدد روی دندریمرهای PAMAM با انتهای آمینی، توانایی ترکیب با مولکول‌های DNA، تشکیل پلی‌پلکس‌های پایدار و کارآیی ترانسفکشن این پلیمرهای کاتیونی را بسیار کارآرزیابی کرده به نحوی که آن‌ها را به عنوان یکی از مؤثرترین حاملین ژنی غیرویروسی معرفی می‌کند. مهندسی دندریمرهای PAMAM با زنجیره‌های PEG (منظور فرم پگیله شده است) ویژگی‌های زیست‌شناختی و فارماکولژیکی مناسبی مانند بهبود سازگاری زیستی و حلالیت در محیط آبی، افزایش نیمه عمر و کاهش سمیت سلولی و تحریک ایمنی را به همراه داشته است. از طرفی کاهش بارهای مشبت سطحی ناشی از پگیله شدن، توانایی اندوستیوز و در نتیجه، کارآیی ترانسفکشن این دندریمرها را کاهش می‌دهد [۱۶]. برای بهبود این شرایط انواعی از مولکول‌های هدف‌یاب مانند لیگاندهای کوچک (مثل فولات)، پیتیدها (مثل ترانسفرین) و پروتئین‌ها (مثل آنتی‌بادی و قطعات آن‌ها) به سطح آن‌ها اضافه شده است تا به این ترتیب ناقلی هدفمند تولید شود که با داشتن امکان اندوستیوز به واسطه گیرنده به صورت اختصاصی، کارآیی ترانسفکشن بالایی را نشان دهد [۱۷].

در اکثر مطالعات انجام شده روی هدفمندسازی انتقال ژن با دندریمرهای PAMAM، از فرم پگیله شده و هدفمند آن استفاده شده است. در یک مطالعه با در نظر گرفتن گزارش بهبود کارآیی ترانسفکشن سلول‌های نورونی با متصل کردن پیتید ترانسفرین به

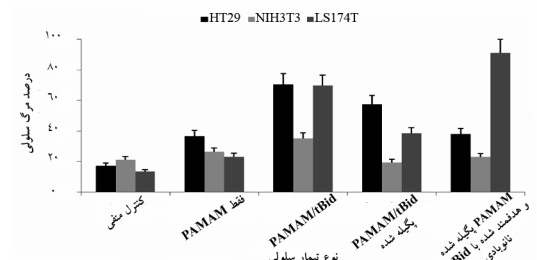
۳-۴- نتایج Real Time PCR و بررسی کمی

بیان ژن هدف در سلول‌ها

نتایج Real Time PCR پس از محاسبه نسبت بیان ژن *t-Bid* در مقایسه با ژن کنترل بتا-اکتین (با کاربرد فرمول Pfaffle) در نمودار ۱ مشاهده می‌شود. نتایج به صورت میانگین \pm انحراف معیار نشان داده شده است.



نمودار ۱ نسبت بیان ژن *t-Bid* در مقایسه با ژن کنترل (بتا-اکتین) در هر سه رده سلولی در اثر تیمارهای مختلف؛ نتایج به صورت میانگین \pm انحراف معیار نشان داده شده است.



نمودار ۲ نتایج شمارش سلولی رده‌های سلولی HT29, LS174T و NIH3T3 در صد مرگ سلولی به صورت میانگین \pm انحراف معیار برای هر سه رده سلولی نشان داده شده است.

۳-۵- نتایج شمارش سلولی پس از ترانسفکشن

میزان مرگ سلولی در اثر تیمارهای مختلف در مقایسه با حالت تیمار نشده راه کاری مناسبی برای ارزیابی میزان سمیت سلولی و نیز کارآیی حامل ژنی ساخته شده در انتقال ژن کشنه (tBid) است. نمودار ۲ نتایج شمارش سلولی برای زنده و مرده را براساس نوع سلول و نوع تیمار به صورت میانگین \pm انحراف

سطح سلول سرطانی باعث ایجاد آثار کشنده‌گی سلولی با مکانیسم‌های «کشنده‌گی سلولی وابسته به آنتی‌بادی»، «کشنده‌گی سلولی به واسطه کمپلمان» و القای مرگ برنامه‌ریزی شده سلولی (Apoptosis) در آن‌ها می‌شود ولی هزینه‌های بالای تولید، نفوذ کم به بافت توموری و تحریک سیستم ایمنی، کاربرد آنتی‌بادی‌های مونوکلونال را با مشکلاتی مواجه کرده است [۲۱]. قطعات آنتی‌بادی که فرم‌های کوچک‌تر آنتی‌بادی‌ها با ظرفیت اتصال به آنتی‌ژن است، توانایی نفوذ بیشتری به بافت دارد؛ ولی به دلیل فقدان ناحیه FC، قادر به تحریک مؤثر سیستم ایمنی و القای مرگ این سلول‌ها نیست [۲۲]. آنتی‌بادی‌های زنجیره سنگین به طور طبیعی در سرم شترسانان یافت می‌شود. از آنجا که این آنتی‌بادی‌ها خصوصیات منحصر به فردی دارد (از جمله توانایی نفوذ راحت‌تر به تومور (به دلیل اندازه کوچک)، ۸۰ درصد همولوژی با توالی VH₂ آنتی‌بادی انسان، سهولت دستورزی و تولید انبوه و صرفه اقتصادی) به عنوان جایگزین مناسب (single-chain variable fragment) scFv یا آنتی‌بادی‌های تک رشته‌ای مطرح است [۲۳].

در این مطالعه نیز از نانوبادی علیه آنتی‌ژن توموری TAG72 (که نوعی گلیکوپروتئین با بیان بالا در سطح بافت پوششی بسیاری از تومورها به‌ویژه تومورهای کولون است) استفاده شده است [۲۴]. رده‌های سلولی LS174T (رده سلولی دارای بیان بالا از آنتی‌ژن TAG72)، HT29 (رده سلولی فاقد بیان این آنتی‌ژن) و NIH3T3 (کترل دوم) به کار گرفته شدند. کارآیی سازه ژنی کدکننده ژن هدف -t-Bid (HRE/ERE-pMUC1- و TAG72) در القای مرگ سلول‌های توموری در مطالعات قبلی همین گروه با کاربرد لیپوفکتامین (Lipofectamine) [۲۵] و نانوذرات پلی اتیلن ایمین (Polyethyleneimine) پگیله شده [۲۶] تأیید شده است. در این مطالعه برای انتقال هدفمند این سازه ژنی به سلول‌های مذکور در محیط آزمایشگاه از نانوذرات PAMAM پگیله شده استفاده شده است.

با مقایسه نتایج نسبت بیان ژن هدف به ژن کترول در اثر تیمارهای مختلف روی این سه رده سلولی نتیجه می‌گیریم در

سطح دندانیمراهی G5-PEG₃₅₀₀ PAMAM، بررسی مقایسه‌ای درمورد تأثیر اتصال لیگاند لاکتوفرین (Lactoferrin) به این دندانیمراهی با لیگاند ترانسفیرین به آن‌ها انجام شد. این گروه افزایش ۲، ۳ برابری میزان بیان ژن لوسيفراز (Luciferase) منتقل شده با PAMAM G5-PEG₃₅₀₀-Lf نسبت به PAMAM G5-PEG₃₅₀₀-Tf در نورون‌ها هم در محیط کشت و هم در مغز موش‌های مورد آزمایش را گزارش دادند [۱۸]. پیتیدهای LAB (Low Affinity Binding) و HAB (High Affinity Binding) غشای سلول‌های بنیادی مزانشیمی (Mesenchymal Stem Cells: Santos) متصل می‌شود. سانتوس (Santos) و همکارانش، با اتصال ۴ و ۸ عدد از این پیتیدها به سطح دندانیمراهی PAMAM G5-PEG₃₄₀₀ پگیله شده، به ترتیب افزایش ۱۰ و ۵/۵ برابری کارآیی ترانسفکشن را نسبت به حالت غیرهدفمند شده این دندانیمراهی نشان دادند. کاربرد این حالت علاوه بر افزایش بیان ژن، کاهش سمیت سلولی و افزایش بقای سلول‌های بنیادین را به همراه داشت (در حالی که تنها حدود ۴۰ درصد سلول‌ها، ۴۸ ساعت پس از ترانسفکشن با PAMAM پگیله شده زنده ماندند، این رقم برای حالت تیمار با PAMAM پگیله شده و هدفمند در این بررسی ۹۰ تا ۸۰ درصد بود) [۱۹]. این مطالعات و نیز گزارش‌های مشابه همگی بر اهمیت هدفمند کردن نانوذرات دندانیمراهی برای انتقال ژن دلالت دارد.

کاربرد آنتی‌بادی‌ها برای هدفمندسازی نانوحاصل‌ها بسیار مورد توجه بوده است. به طور نمونه تأثیر مثبت اتصال آنتی‌بادی علیه E-سلکتین (E-Selectin) به سطح دندانیمراهی PAMAM متصل و تأثیر این هدفمندسازی در انتقال ژن به سلول‌ها بررسی شده است. کارآیی ترانسفکشن سلول‌های رده (Chinese Hamster Ovary) CHO، ۴ برابر و سلول‌های رده (Human Saphenous Vein Endothelial Cells) HSVEC ۵ برابر (نسبت به کاربرد دندانیمراهی غیرهدفمند) افزایش نشان داده است [۲۰]. اگرچه مولکول‌های مونوکلونال آنتی‌بادی کایمربیک یا انسانی شده به دنبال اتصال به آنتی‌ژن (نشانگر)

حدودی در این رده سلولی توجیه می‌کند. شایان ذکر است که بررسی‌های هیستولوژیکی بیشتری برای تأیید این یافته نیاز است. در بررسی میزان سمت سلولی نانوذرات PAMAM روی این رده‌های سلولی، حالت بدون تیمار به عنوان کترول در نظر گرفته شد. درحالی که تیمار با نانوذرات PAMAM منجر به حدود ۲ برابر شدن درصد مرگ سلولی در رده HT29 نسبت به حال کترول می‌شود، در دو رده سلولی LS174T و NIH3T3 به ترتیب تنها افزایش حدود ۱/۷ و ۱/۲ برابری این درصد مشاهده شد. همچنین می‌توان از مقایسه نتایج مرگ سلولی پس از ۴۸ ساعت مشاهده کرد که ترتیب سمت سلولی این نانوذرات به صورت LS174T>NIH3T3>HT29 است. به طور کلی این مطالعه تأییدی بر کارآیی دندربمراهی PAMAM در انتقال ژن و نیز تأثیر مثبت پگیله کردن و اتصال نانوبادی علیه TAG72 به این نانوحاصل ژنی (برای هدفمندسازی انتقال ژن به سلول) است.

۵- تشکر و قدردانی

این تحقیق حاصل پایان‌نامه کارشناسی ارشد (بیوتکنولوژی پزشکی) است و با حمایت مالی دانشکده علوم پزشکی دانشگاه تربیت مدرس و نیز کمیته نانوفناوری دانشگاه تربیت مدرس (به طرح تصویب شده دکتر فاطمه رهبری‌زاده- از محل برنامه حمایت از توسعه فناوری‌های راهبردی معاونت علمی و فناوری ریاست جمهوری) انجام شده است.

حالی که تیمار با PAMAM حاوی سازه ژنی در مقایسه با حالت تیمار با نانوذره خالی افزایش بیان ۳۰ و ۲۷ برابری را به ترتیب در سلول‌های رده LS174T و HT29 به همراه دارد، هدفمندسازی انتقال سازه (منظور تیمار با PAMAM پگیله شده هدفمند شده با نانوبادی/pDNA) نیز در مقایسه با حالت غیرهدفمند منجر به افزایش بیان ۵۰ درصدی در رده سلولی LS174T و کاهش ۹۶ و ۸۲ درصدی به ترتیب در رده‌های سلولی NIH3T3 و HT29 می‌شود. این تغییر الگوی بیان ژن هدف بر تأثیر مثبت این هدفمندسازی انتقال ژن با نانوحاصل در افزایش ورود به سلول و به دنبالش افزایش میزان بیان ژن انتقالی در مقایسه با حالت غیرهدفمند شده دلالت می‌کند. بدون هدفمندسازی انتقال ژن، بیان ژن t-BID-t میزان بیان ژن MUC1 در سلول‌های است و چون در این مطالعه، سلول‌ها از نظر بیان ژن t-Bid نسبت به صورت LS174T>HT29>NIH3T3 بودند، بنابراین افزایش بیان ژن ۱۷ در رده سلولی LS174T نسبت به حالت کترول آن، نشان می‌دهد که نه تنها بیان بالای TAG72 در سطح سلول‌های LS174T به افزایش توان انتقال نانوحاصل هدفمند کمک می‌کند بلکه از سوی دیگر احتمالاً بیان بالاتر ژن MUC1 در همین رده سلولی منجر می‌شود که حتی در حالت هدفمند نشده نیز نسبت به رده سلولی HT29 (که آن هم MUC1 را بیان می‌شود) نتایج بهتری را نشان دهد. عدم بیان ژن MUC1 انسانی در رده سلولی NIH3T3، بیان بسیار پایین ژن MUC1 انسانی (که تحت پرومومتور MUC1 انسانی بیان می‌یابد) را تا

۶- منابع

- [1] Scanlon KJ. Cancer gene therapy: challenges and opportunities. *Anticancer Res* 2004; 24(2A): 501-4.
- [2] El-Aneed A. An overview of current delivery systems in cancer gene therapy. *J Control Release* 2004; 94(1): 1-14.
- [3] Louise C. Nonviral vectors. *Methods Mol Biol* 2006; 333: 201-26.
- [4] Haensler J, Szoka FC Jr. Polyamidoamine cascade polymers mediate efficient transfection of cells in culture. *Bioconjug Chem* 1993; 4(5): 372-9.
- [5] Navarro G, Tros de Ilarduya C. Activated and non-activated PAMAM dendrimers for gene

- delivery in vitro and in vivo. *Nanomedicine* 2009; 5(3): 287-97.
- [6] Luo D, Haverstick K, Belcheva N, Han E, Saltzman WM. Poly(ethylene glycol)-Conjugated PAMAM Dendrimer for Biocompatible, High-Efficiency DNA Delivery. *Macromolecules* 2002; 35(9): 3456-62.
- [7] Kojima C, Regino C, Umeda Y, Kobayashi H, Kono K. Influence of dendrimer generation and polyethylene glycol length on the biodistribution of PEGylated dendrimers. *Int J Pharm* 2010; 383(1-2): 293-6.
- [8] Qi R, Gao Y, Tang Y, He RR, Liu TL, He Y, Sun S, Li BY, Li YB, Liu G. PEG-conjugated PAMAM dendrimers mediate efficient intramuscular gene expression. *AAPS J* 2009; 11(3): 395-405.
- [9] Kircheis R, Blessing T, Brunner S, Wightman L, Wagner E. Tumor targeting with surface-shielded ligand--polycation DNA complexes. *J Control Release* 2001; 72(1-3): 165-70.
- [10] Singh P, Gupta U, Asthana A, Jain NK. Folate and folate-PEG-PAMAM dendrimers: synthesis, characterization, and targeted anticancer drug delivery potential in tumor bearing mice. *Bioconjug Chem* 2008; 19(11): 2239-52.
- [11] Kunath K, Merdan T, Hegener O, Häberlein H, Kissel T. Integrin targeting using RGD-PEI conjugates for in vitro gene transfer. *J Gene Med* 2003; 5(7): 588-99.
- [12] Xu L, Tang WH, Huang CC, Alexander W, Xiang LM, Pirollo KF, Rait A, Chang EH. Systemic p53 gene therapy of cancer with immunolipoplexes targeted by anti-transferrin receptor scFv. *Mol Med* 2001; 7(10): 723-34.
- [13] Deckert PM. Current constructs and targets in clinical development for antibody-based cancer therapy. *Curr Drug Targets* 2009; 10(2): 158-75.
- [14] Rahbarizadeh F, Rasaee MJ, Forouzandeh Moghadam M, Allameh AA, Sadroddiny E. Production of novel recombinant single-domain antibodies against tandem repeat region of MUC1 mucin. *Hybrid Hybridomics* 2004; 23(3): 151-9.
- [15] Chen L, Wang Y, Liu X, Dou S, Liu G, Hnatowich DJ, Rusckowski M. A new TAG-72 cancer marker peptide identified by phage display. *Cancer Lett* 2008; 272(1): 122-32.
- [16] Lee H, Larson RG. Molecular dynamics study of the structure and interparticle interactions of polyethylene glycol-conjugated PAMAM dendrimers. *J Phys Chem B* 2009; 113(40): 13202-7.
- [17] Yang W, Cheng Y, Xu T, Wang X, Wen LP. Targeting cancer cells with biotin-dendrimer conjugates. *Eur J Med Chem* 2009; 44(2): 862-8.
- [18] Huang R, Ke W, Liu Y, Jiang C, Pei Y. The use of lactoferrin as a ligand for targeting the polyamidoamine-based gene delivery system to the brain. *Biomaterials* 2008; 29(2): 238-46.
- [19] Santos JL, Pandita D, Rodrigues J, Pêgo AP, Granja PL, Balian G, Tomás H. Receptor-mediated gene delivery using PAMAM dendrimers conjugated with peptides recognized by mesenchymal stem cells. *Mol Pharm* 2010; 7(3): 763-74.
- [20] Theoharis S, Krueger U, Tan PH, Haskard DO, Weber M, George AJ. Targeting gene delivery to activated vascular endothelium using anti E/P-Selectin antibody linked to PAMAM

- dendrimers. *J Immunol Methods* 2009; 343(2): 79–90.
- [21] Jaracz S, Chen J, Kuznetsova LV, Ojima I. Recent advances in tumor-targeting anticancer drug conjugates. *Bioorg Med Chem* 2005; 13(17): 5043-54.
- [22] Begent RH, Verhaar MJ, Chester KA, Casey JL, Green AJ, Napier MP, Hope-Stone LD, Cushen N, Keep PA, Johnson CJ. Clinical evidence of efficient tumor targeting based on single-chain Fv antibody selected from a combinatorial library. *Nat Med* 1996; 2(9): 979-84.
- [23] Cortez-Retamozo V, Lauwereys M, Hassanzadeh Gh G, Gobert M, Conrath K, Muylldermans S, De Baetselier P, Revets H. Efficient tumor targeting by single-domain antibody fragments of camels. *Int J Cancer* 2002; 98(3): 456-62.
- [24] Kuroki M, Fernsten PD, Wunderlich D, Colcher D, Simpson JF, Poole DJ, Schlom J. Serological Mapping of the TAG-72 Tumor-associated Antigen Using 19 Distinct Monoclonal Antibodies. *Cancer Res* 1990; 50(15): 4872-9.
- [25] Farrokhimanesh S. The Construction and Analysis of Vector Containing tBid (a proapoptotic gene) Induced MUC1 Promoter, Survivin Promoter Estrogen and Hypoxia Responsive Elements. Presented For the M.Sc., 2008; Tarbiyat Modarres University: Tehran, Iran. (Persian)
- [26] Sadeqzadeh E. Construction and Analysis of targeted polyplexes containing HRE/ERE-pMUC1-tBid construct using nanobody against MUC1. Presented For the M.Sc., 2009; Tarbiat Modares University, Tehran, Iran. (Persian)